



Foto: Facundo Martínez

Boletín mensual del Observatorio magnético de Orcadas

Noviembre 2025

EL OBSERVATORIO

El observatorio de la Base Antártica Conjunta Orcadas es el más antiguo que ha estado operando en la Antártida desde su creación en 1903. En este Observatorio se miden ininterrumpidamente parámetros geomagnéticos que muestran la evolución y el comportamiento de una región situada cerca del polo magnético y lejos de las perturbaciones antropogénicas. Al principio, la instrumentación utilizada en el Observatorio Orcadas era analógica. Desde 2012, se ha instalado el sistema INDIGO (Observatorio Geomagnético Digital de Intermagnet) para actualizar y digitalizar las mediciones. En el 2013, el Observatorio fue aceptado como miembro de INTERMAGNET (Red Magnética Internacional en Tiempo Real).

Autores: María Inés Gil, Facundo Martínez, Juan Carlos Gil, Julieta Moyano, Milton Soria, M. Laura Cariaga.

Coord. Área Geofísica: Geof. Camila Farías
cfarias@smn.gob.ar



Servicio
Meteorológico
Nacional



Ministerio de Defensa
Presidencia de la Nación

Información sobre Copyright

Este reporte ha sido producido por empleados del Servicio Meteorológico Nacional con el fin de documentar sus actividades de investigación y desarrollo. El presente trabajo ha tenido cierto nivel de revisión por otros miembros de la institución, pero ninguno de los resultados o juicios expresados aquí presuponen un aval implícito o explícito del Servicio Meteorológico Nacional.

La información aquí presentada puede ser reproducida a condición que la fuente sea adecuadamente citada.

UBICACIÓN

El Observatorio Magnético de la Base Antártica Conjunta Orcadas se localiza en la Isla Laurie, de las Islas Orcadas de Sur en la Antártida Argentina. Presenta las siguientes características:

- Coordenadas Geográficas: $60^{\circ} 44' 15'' S$ $44^{\circ} 44' 14'' O$
- Altura sobre el nivel del mar: 5 m.



Figura 1: Ubicación de la Base antártica conjunta Orcadas

CONCEPTOS TEÓRICOS

El **campo magnético** terrestre se parece al campo de una larga barra magnética o al de una esfera uniformemente magnetizada.

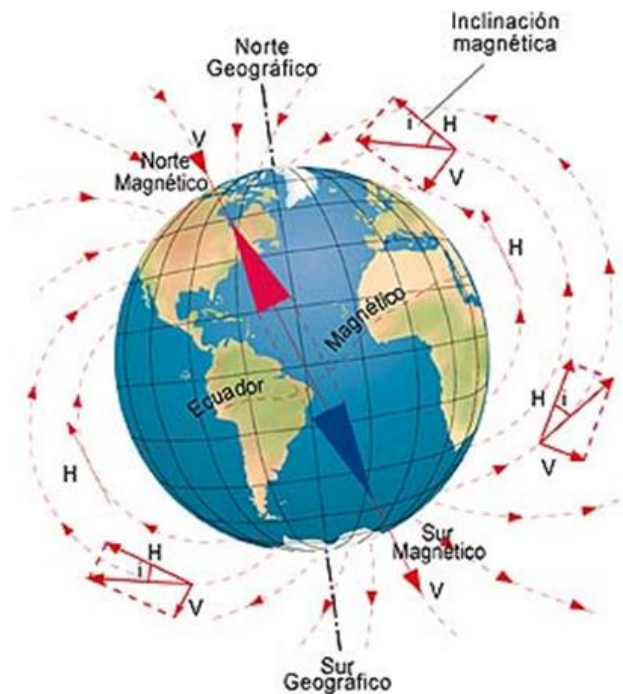


Figura 2: Representación gráfica del campo magnético terrestre

El campo o las líneas de flujo, siguen la trayectoria que muestra la Figura 2. Nótese que la dirección del campo es vertical en los polos magnéticos, y horizontal en el ecuador magnético. El entendimiento de esta geometría es importante para la interpretación de las anomalías magnéticas. La intensidad del campo, es una función de la cantidad de líneas por unidad de área.

La intensidad en la región polar es aproximadamente el **doble** que, en la ecuatorial, oscilando entre 60.000 y 30.000 gammas o nanoteslas (nT).

Es importante tener en cuenta que el campo magnético varía tanto en espacio como en tiempo.

Componentes Magnéticas

Instrumentos del Observatorio

El Observatorio cuenta con un magnetómetro protónico que registra la intensidad del campo, F , un magnetómetro triaxial fluxgate para registrar la componente horizontal H , vertical Z , y la declinación D , y un teodolito que permite determinar D e I por medio de una observación. En la Figura 3 se presenta un esquema de las componentes del campo magnético enunciadas en este apartado.

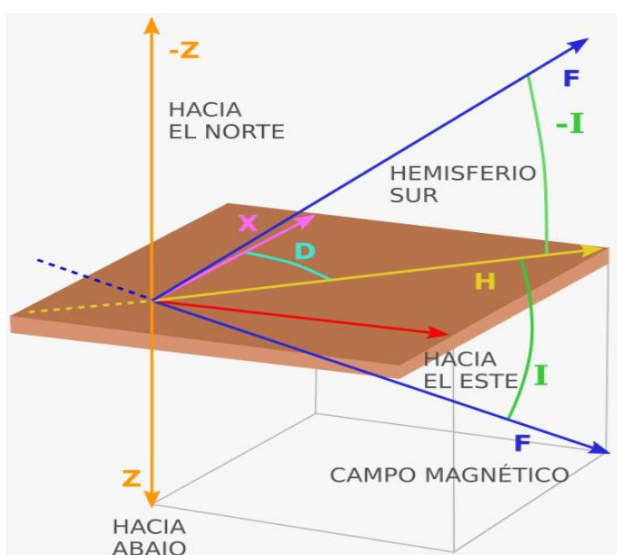


Figura 3: Componentes del campo magnético

DESCRIPCIÓN SISTEMA INDIGO

Este sistema proporciona el hardware y el software para operar un Observatorio Magnético Digital básico. El hardware consiste en un magnetómetro triaxial fluxgate, un magnetómetro protónico, un digitalizador, un receptor GPS para proporcionar un tiempo exacto, un registrador de memoria USB y una fuente de alimentación DC alimentada por batería. El software INDIGO WATCH captura los datos del magnetómetro digitalizado, registra en el disco y realiza el análisis de datos básicos.

OBSERVATORIO MAGNÉTICO OPERATIVO

El Observatorio opera con Geomagnetic Data Acquisition System (GDAS), el mismo fue desarrollado por la British Geological Survey (BGS). El Indigo Watch registra las variaciones de las componentes del campo magnético, pero no los valores absolutos. El operador supervisa estas variaciones.

Las observaciones absolutas conjuntamente con los datos obtenidos por el Sistema Índigo, se procesan en el software (GDAS), y producen un registro continuo de los **valores absolutos del campo magnético**.

INTERMAGNET

INTERMAGNET es una red mundial de Observatorios Magnéticos que operan casi en tiempo real. El objetivo de INTERMAGNET es establecer una red global de Observatorios Magnéticos digitales que cooperen, adoptando modernas especificaciones estándar para equipos de medición y registro, con el fin de facilitar el intercambio de datos y la elaboración de productos geomagnéticos en tiempo real.

En 2013, el Observatorio Magnético Orcadas fue aceptado como miembro de INTERMAGNET y las mediciones magnéticas generadas con el Sistema INDIGO en el observatorio de Orcadas son reportadas diariamente a Edimburgo GIN.

La información se puede visualizar en https://imag-data.bgs.ac.uk/GIN_V1/GINForms2

RED INTERMAGNET

A continuación, se presenta la evolución de las componentes del campo magnético para todo el mes de Noviembre presentadas a la red INTERMAGNET. Los datos que se envían a la red en tiempo casi real y que se muestran en los gráficos siguientes son datos provisionales, esto significa que están sujetos a revisión, no son definitivos y están calculados respecto de una Línea de Base de referencia estimada propia del Observatorio. Cabe aclarar que la ausencia de datos o puntos dispersos corresponden a cuestiones eléctricas o de mantenimiento en el observatorio.

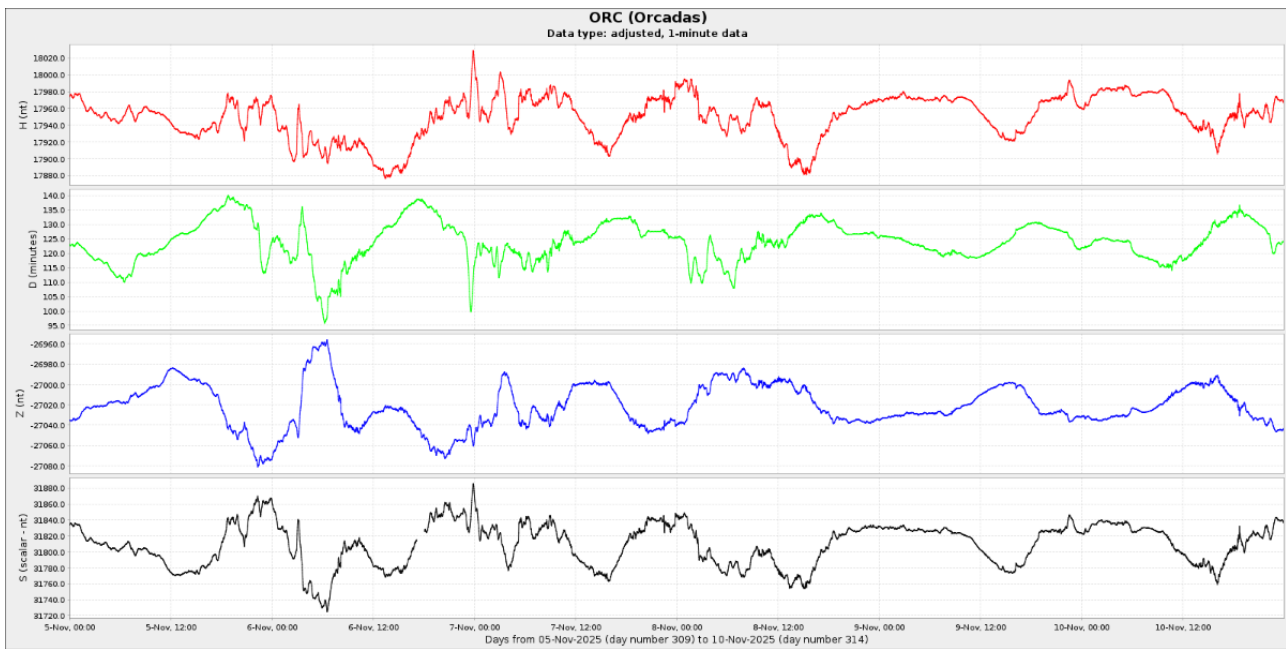
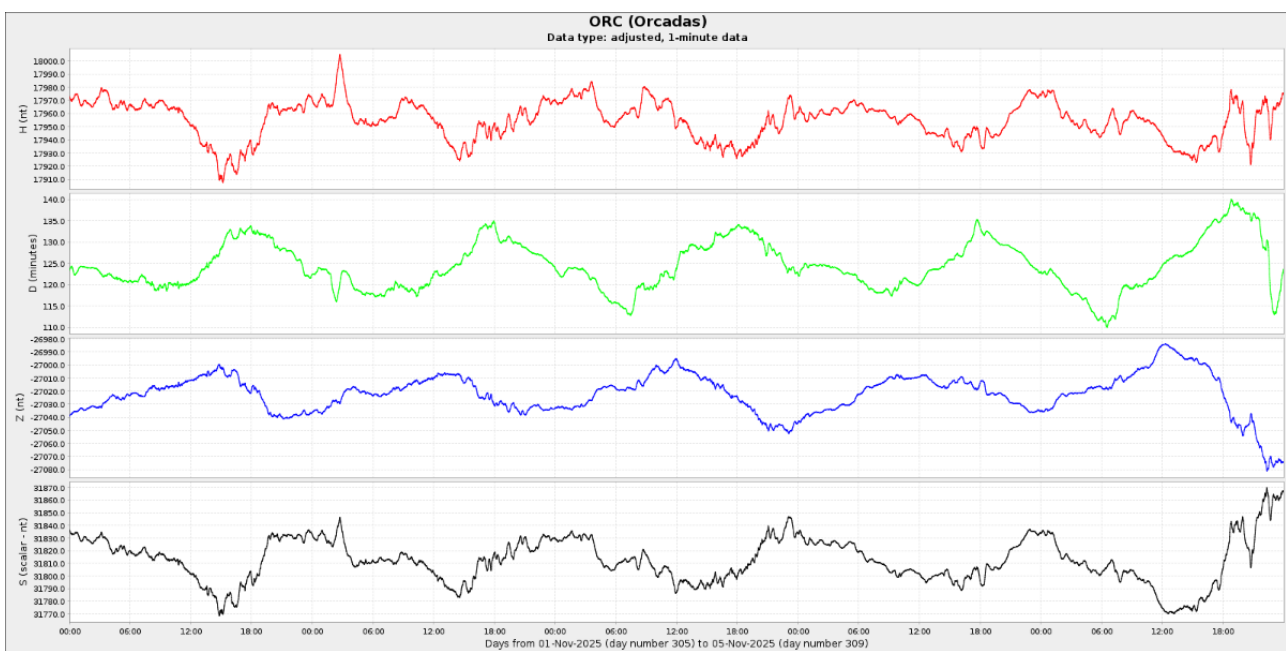


Figura 4a: Componentes del campo magnético del 1 al 10 de noviembre. En rojo se ve la componente horizontal (H) y en azul la vertical (Z), ambas en nT. En verde se presenta la declinación del campo magnético (D) en minutos y en negro la intensidad del campo magnético en nT

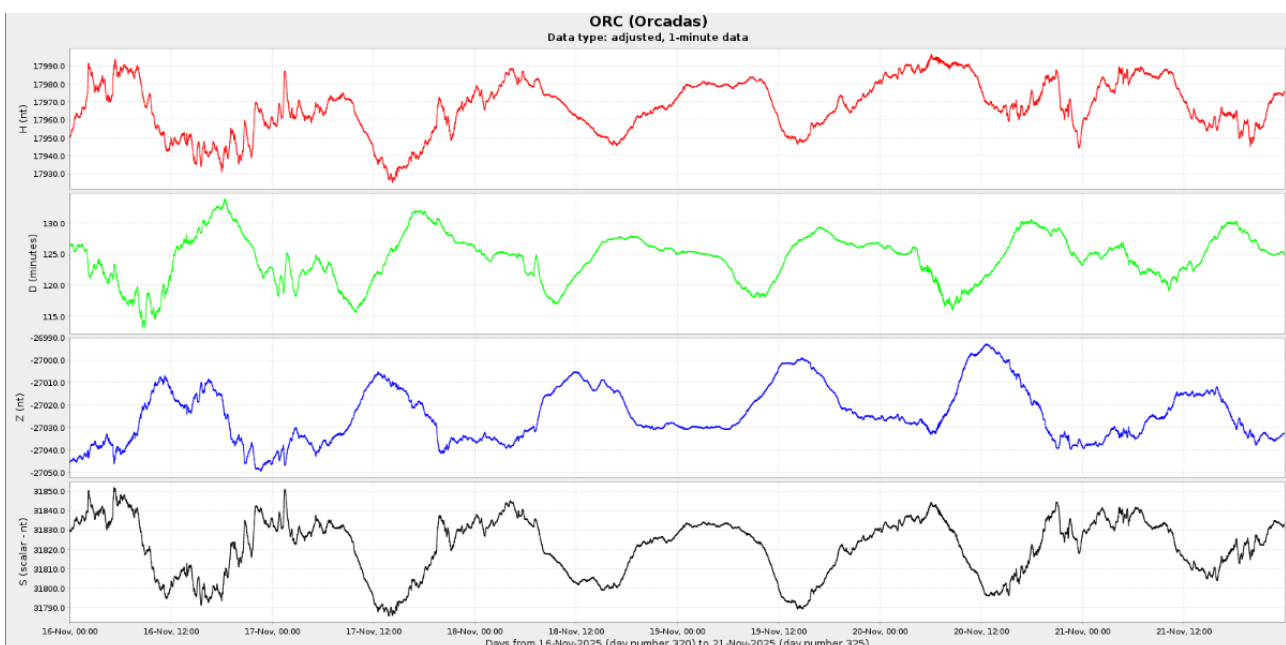
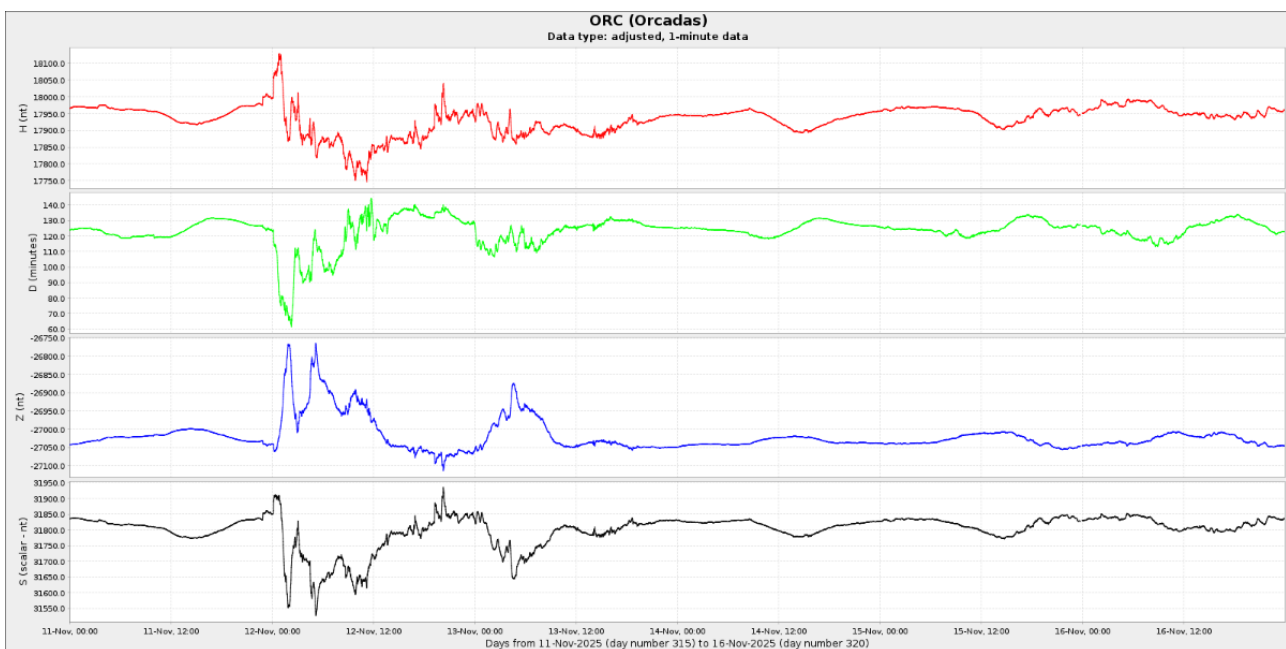


Figura 4b Componentes del campo magnético del 11 al 21 de noviembre. En rojo se ve la componente horizontal (H) y en azul la vertical (Z), ambas en nT. En verde se presenta la declinación del campo magnético (D) en minutos y en negro la intensidad del campo magnético en nT.

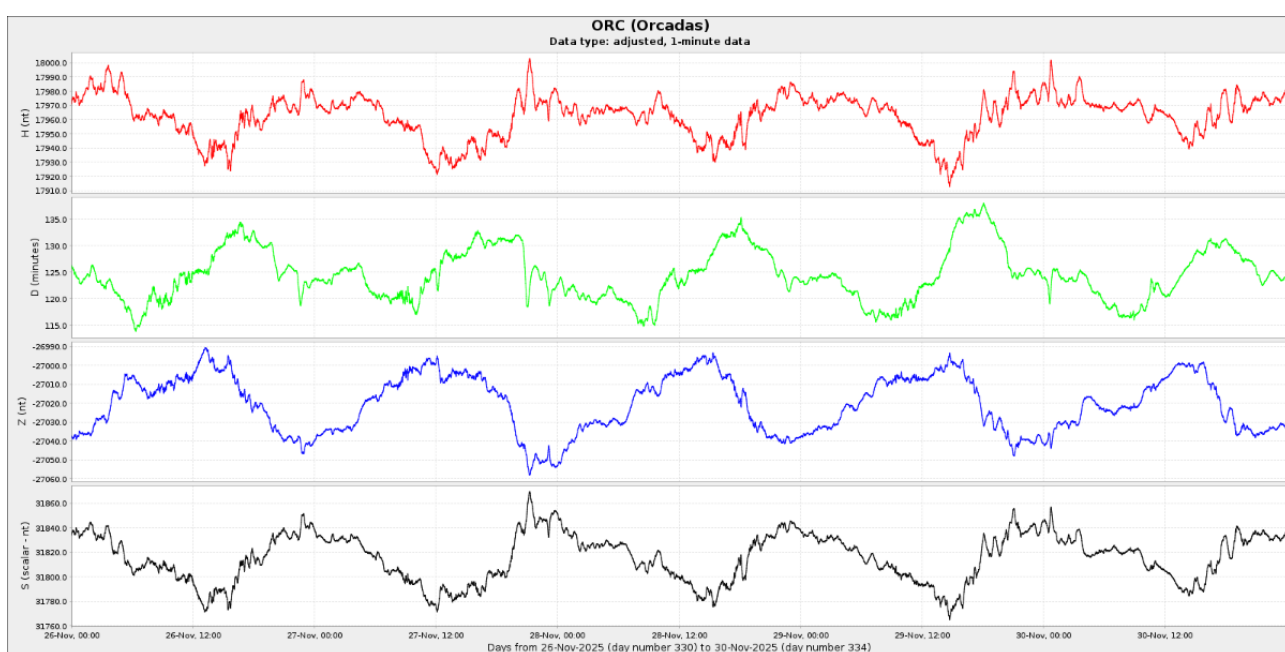
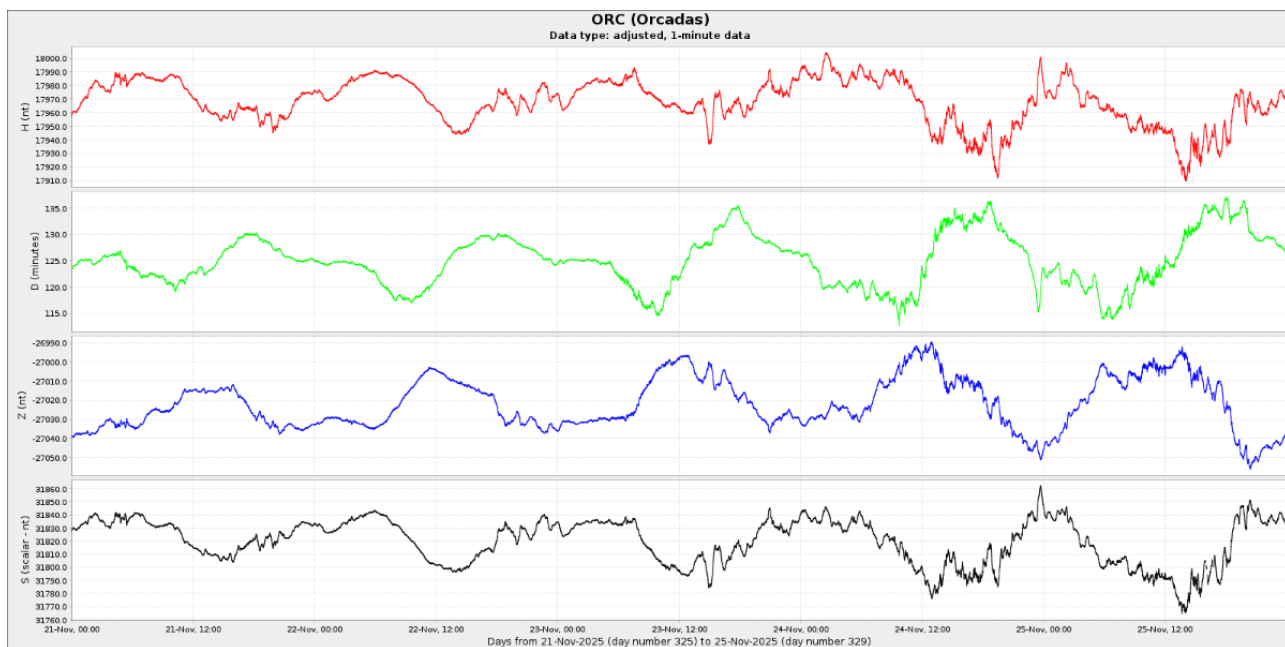


Figura 4c: Componentes del campo magnético del 21 al 30 de noviembre. En rojo se ve la componente horizontal (H) y en azul la vertical (Z), ambas en nT. En verde se presenta la declinación del campo magnético (D) en minutos y en negro la intensidad del campo magnético en Nt, dejando la aclaración la ausencia de datos de la intensidad del campo magnético debido a mantenimiento del sistema indigo.

OBSERVACIONES ABSOLUTAS

A continuación (Figuras 5, 6 y 7) se presenta la evolución temporal durante todo el mes de noviembre de la declinación, la inclinación y la intensidad total del campo magnético a partir de las observaciones absolutas realizadas a las 11, 15 y 19 UTC.

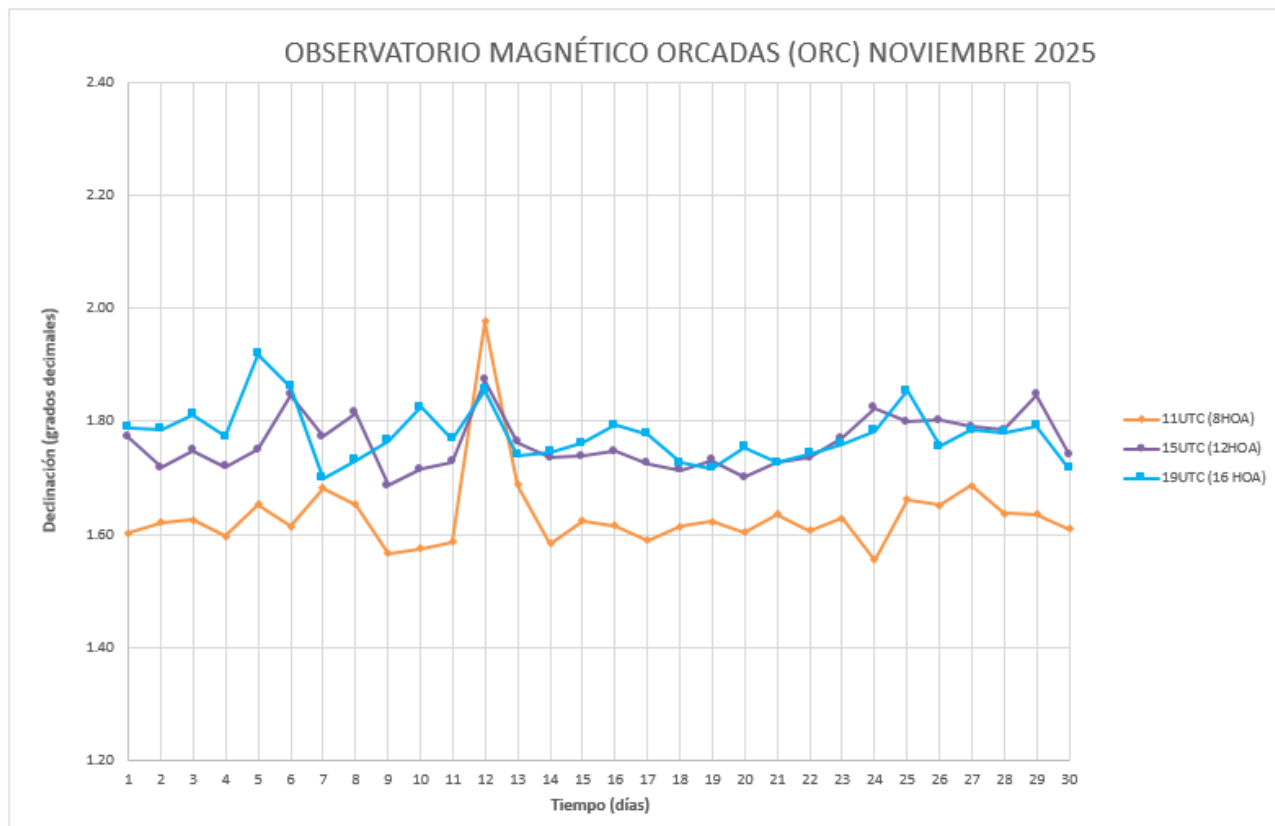


Figura 5: Declinación magnética en función del tiempo

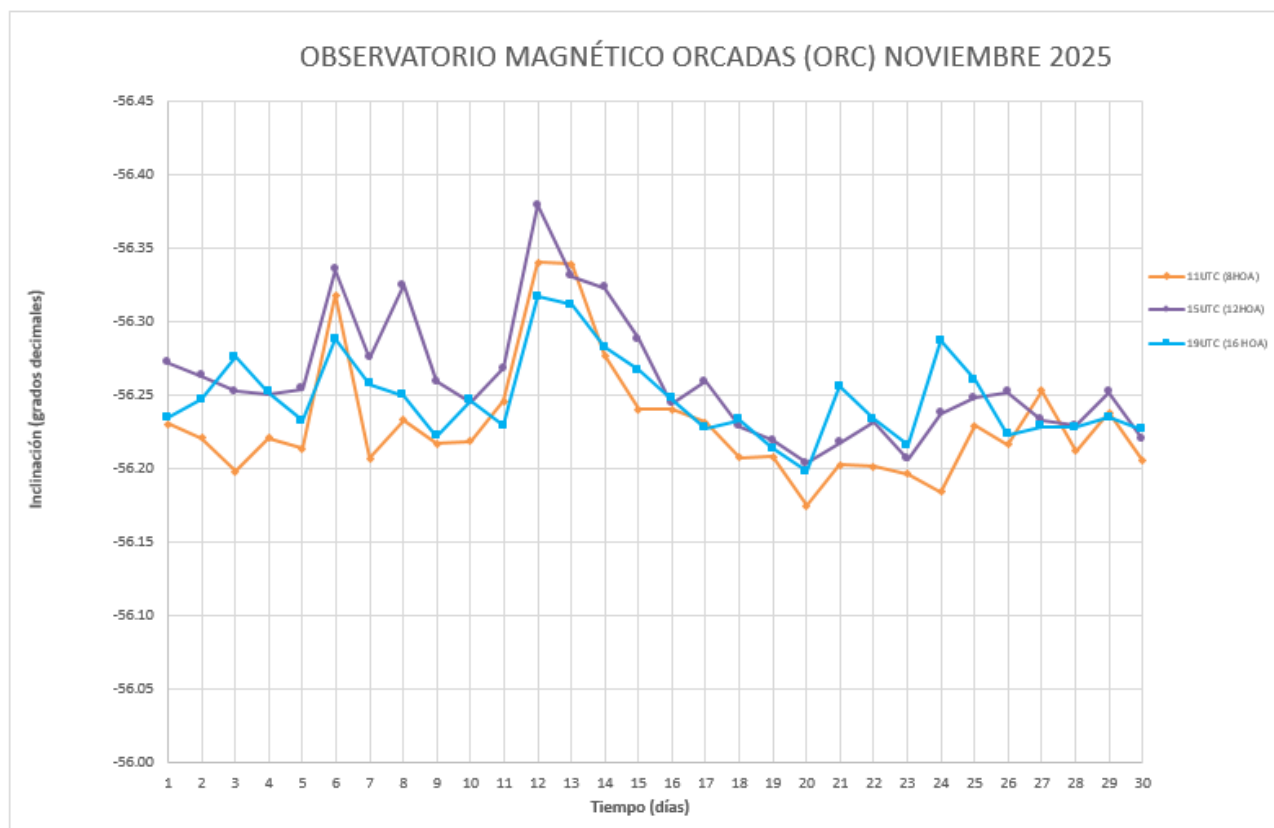


Figura 6: Inclinación magnética en función del tiempo

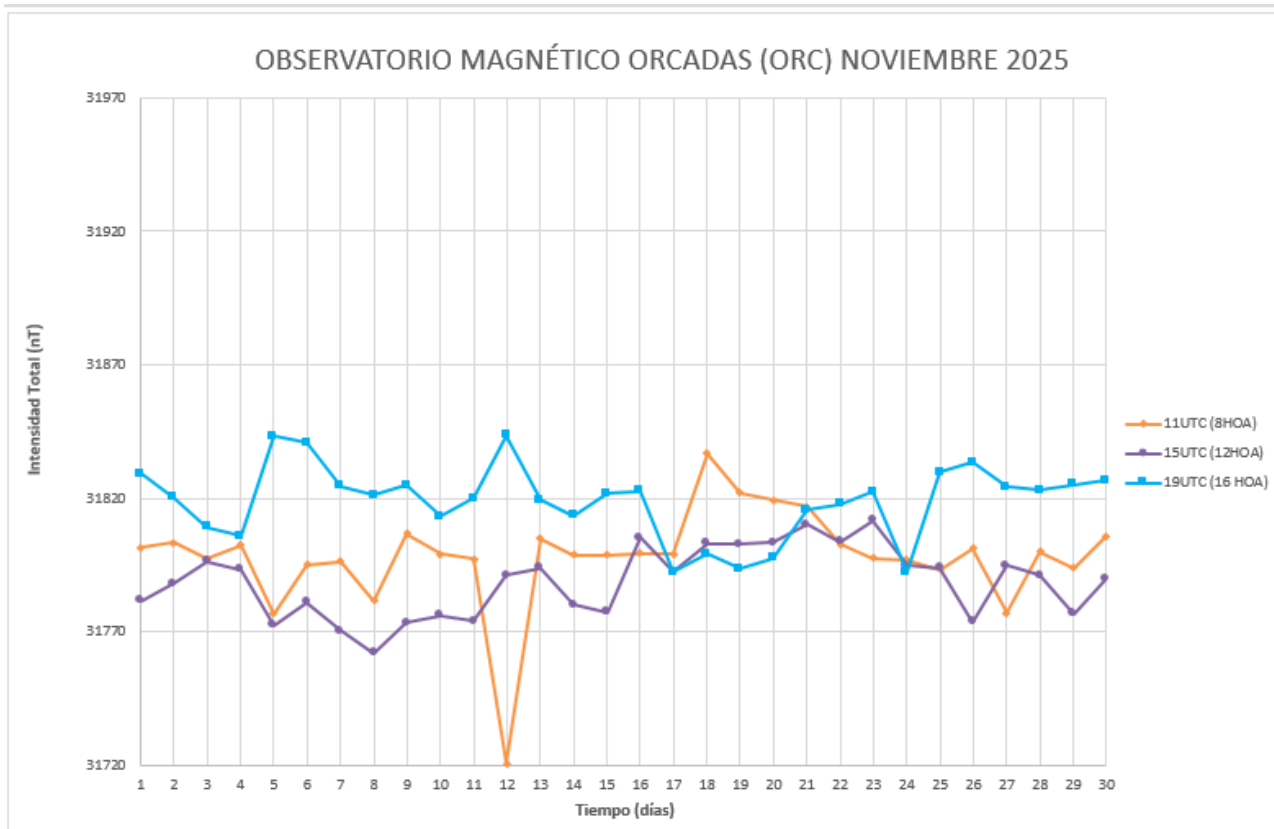


Figura 7: Intensidad total del campo magnético en función del tiempo

VARIACIÓN DIURNA CALMA Y PERTURBADA

El campo geomagnético es cambiante en escalas desde los milisegundos a millones de años. Las escalas temporales más reducidas vienen dadas a partir de los flujos en la ionósfera y la magnetosfera; alguno de estos cambios puede corresponder a tormentas geomagnéticas o variaciones diarias en las corrientes. Las variaciones que tienen origen externo pueden clasificarse en regulares e irregulares. Las primeras, se asocian al ciclo diurno, al lunar y las de período largo con el ciclo solar (cada 11 años). La variación Lunar (L), se debe a la influencia gravitacional que ejerce la luna sobre la ionosfera, sin embargo, es considerablemente mayor la influencia del sol. La variación Diurna (Sq), está directamente relacionada con la incidencia de la radiación solar en la ionósfera, donde el gas atmosférico que lo constituye, se encuentra parcialmente ionizado, razón por la que el horario de nocturnidad es siempre más tranquilo y menos perturbado. El movimiento y la interacción de este flujo de iones crean un sistema de corrientes eléctricas, el cual se detecta en la superficie de la Tierra como una variación suave en las componentes del campo magnético. Por su parte, las variaciones irregulares son consecuencia de un proceso dinámico de interacción entre plasma (viento solar), compuesto de partículas cargadas (protónes y electrones) con el campo magnético de la Tierra.

La Asociación Internacional de Geomagnetismo y Aeronomía (IAGA) clasifica mensualmente los días más calmos o Q days (Quiet Days) y los días más perturbados del mes o D Days (Disturbed Days) basándose en el Índice de perturbación geomagnética K. Es muy difícil establecer con certeza la perturbación presente aún en días aparentemente calmos. Es sabido que la clasificación de la IAGA es relativa, porque incluso en días de calma excepcional se pueden encontrar perturbaciones residuales que causan cierta variación, sin embargo, esta clasificación brinda una aproximación.

Para conocer la variación diaria calma del mes, consideramos los cinco días más calmos (Q1 a Q5) publicados por la IAGA. Mientras que, para conocer la variación perturbada del mes, basta con considerar al día más perturbado del mes (D1), dado también por la IAGA.

Los cinco días más calmos para este mes fueron el **19, 14, 18, 22, 11**, y el más perturbado, el **12**. Los siguientes días menos perturbados (**Q6 a Q10: 20MIL, 9A, 21A, 15A y 4A**) que también clasifica la IAGA, y para el caso de los más perturbados en orden decreciente D1 a D5 (**12, 13, 6, 8 y 7**) Las notas k y * significan que los días no son completamente quietos o perturbados, respectivamente.

En la siguiente tabla, se presentan los cinco días más calmos del mes, el día más perturbado y sus respectivos valores del Nivel de Referencia Nocturno (NRN), el cual no es más que el promedio de F entre las 03:00 y 06:59 UTC (00 a 03:59 HOA), horario de menor perturbación.

	Quietest Days					Most Disturbed Days
	Q1	Q2	Q3	Q4	Q5	
Día	19	14	18	22	11	12
NRN	31832.6	31825.2	31838.8	31839.1	31821.0	31659.9

A continuación, se presentan los gráficos que llamaremos de variación diaria calma (VDQ) y de variación diaria perturbada (VDD) del mes a partir de los datos provisionales, por lo que son una aproximación de la variación mensual del Campo Magnético dada por las variaciones de las corrientes eléctricas que ocurren durante el día.

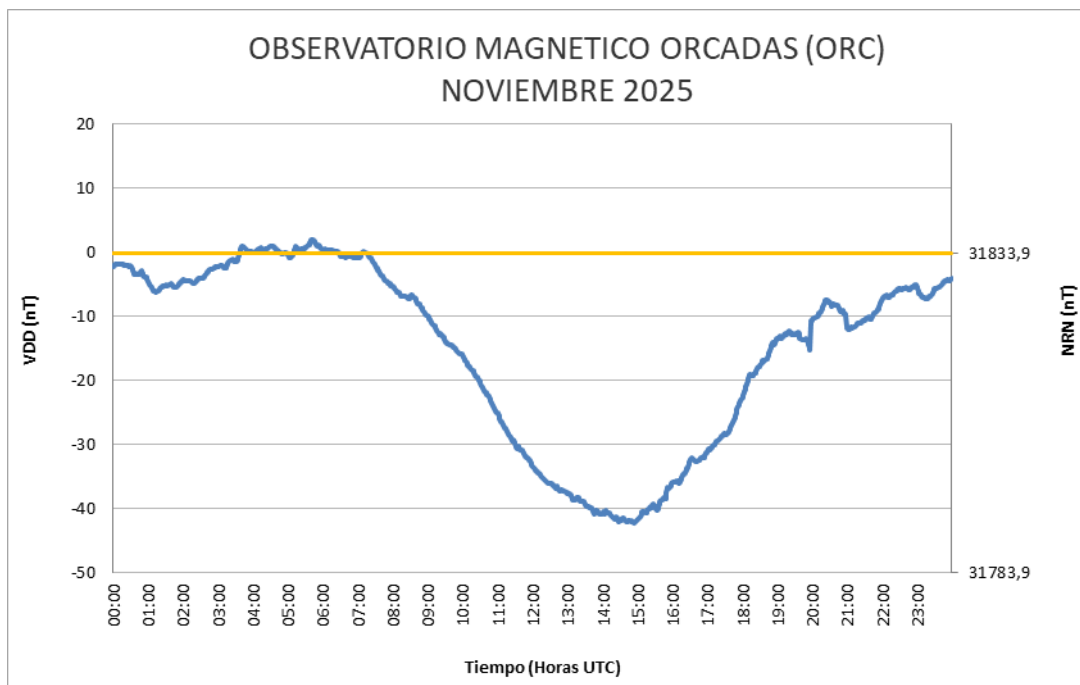


Figura 8: Variación Diaria Calma del mes de noviembre

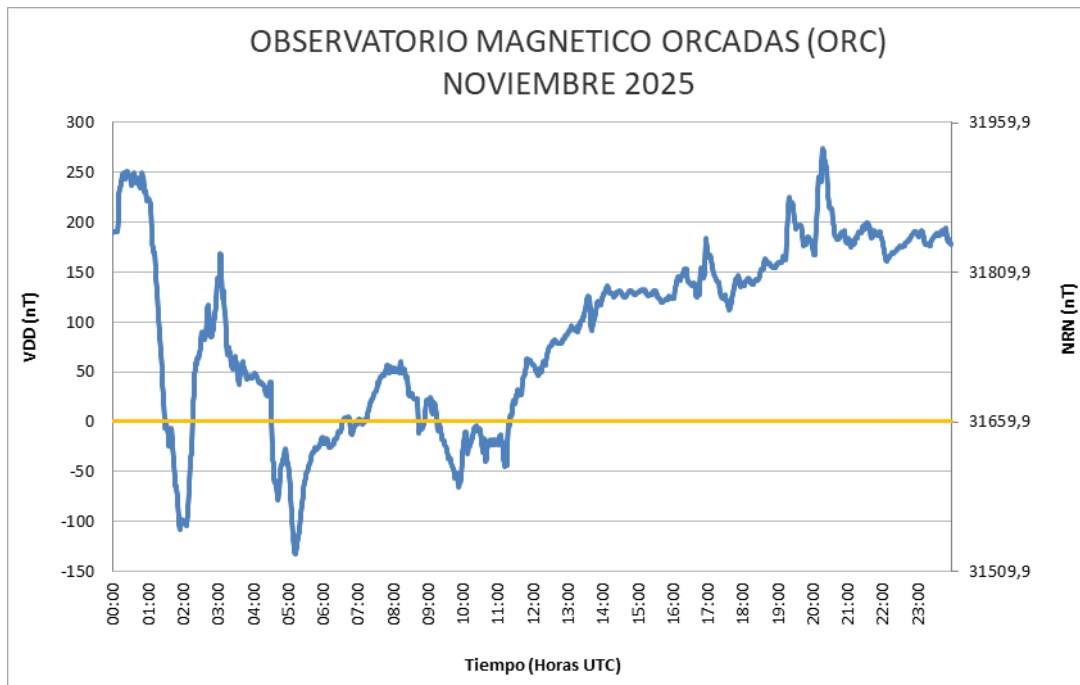


Figura 9: Variación Diaria Perturbada del mes de noviembre

COMENTARIOS FINALES

Durante el mes de noviembre se registró un episodio geomagnético de gran intensidad, el **mayor** hasta el momento del **año 2025**. Particularmente entre los días 11 y 13, estando asociado a una serie de **fulguraciones solares de clase X** y a la llegada de **eyecciones de masa coronal (CME) de alta velocidad**, llegando a niveles de **tormentas geomagnéticas de clase G4 (severa)** anunciada por la NOAA. Sin lugar a dudas fue el mayor impacto en el observatorio mediante esta **mancha solar (4274)** teniendo una fusión considerable y esto provocó un doble impacto de eyección de masa coronal (CME) sobre la magnetosfera terrestre.

Estos eventos provocaron una respuesta notable del campo magnético, evidenciada en los registros del observatorio de Orcadas, donde se observaron perturbaciones abruptas y variaciones sostenidas en los niveles de actividad. La combinación de CME sucesivas, algunas con estructuras de choque bien definidas, junto con componentes del campo magnético interplanetario (IMF) orientadas al sur, favoreció un acoplamiento eficiente con la magnetosfera terrestre, intensificando las condiciones geomagnéticas durante todo el periodo.

En el caso particular del Observatorio Orcadas, la actividad geomagnética asociada a este episodio comenzó el día 11 alrededor de las 22:50 UTC, momento en que se registró la primera perturbación significativa. La actividad se mantuvo elevada a lo largo de los días siguientes, teniendo su pico máximo el día 12 con una fuerza total del campo magnético de unos 448.0 nT. Esta actividad se prolongó hasta el día 13 a las 21:00 UTC, con niveles persistentes de inestabilidad durante todo ese intervalo. Los registros mostraron oscilaciones pronunciadas y variaciones sostenidas en los componentes del campo geomagnético, reflejando la magnitud del impacto solar.

Durante días anteriores el campo ya venía de bastante actividad de CME, teniendo tormentas geomagnéticas G1 y G2 respectivamente. Pero una en concreto tuvo mayor impacto debido a rápidas ráfagas de viento solares que impactaron sobre la magnetosfera terrestre, y este fue el día 6 llegando a una clasificación de tormenta G3 moderada.

Todas las clasificaciones de tormentas están dadas por la NOAA y los índices geomagnéticos globales, principalmente el índice Kp que define los niveles de clasificación de tormenta geomagnética.

Las condiciones del viento solar (velocidad, densidad de protones, temperatura) durante el mes de junio pueden verse en el siguiente link:

<https://www.ngdc.noaa.gov/dscovr/portal/#/vis/summary/1m/1748746800000>

Los boletines de meses anteriores pueden visualizarse en:

<http://repositorio.smn.gob.ar/>

Para mayor información sobre lo abordado, consultar el Anexo de conceptos teóricos que se muestra a continuación, al finalizar el boletín mensual.

ANEXO: CAMPO MAGNETICO TERRESTRE. CONCEPTOS TEORICOS.

El **campo magnético terrestre** se parece al campo de una larga barra magnética o al de una esfera uniformemente magnetizada. El origen de este campo no es bien conocido, pero se cree que es debido a las corrientes convectivas en un núcleo fluido conductor. En la superficie de la Tierra, el polo de la barra magnética equivalente, más cerca del Polo Norte Geográfico es el Polo Sur Magnético. Esta situación paradójica se da por la convención que define como Norte Magnético al extremo de una aguja imantada que apunta al Norte Geográfico. Entonces por la ley de atracción-repulsión de polos magnéticos, el Norte Geográfico debe necesariamente ser un polo sur magnético. Para evitar confusiones, el polo magnético cercano al Norte Geográfico es y será referido como Polo Norte Magnético, aunque será de intensidad negativa.

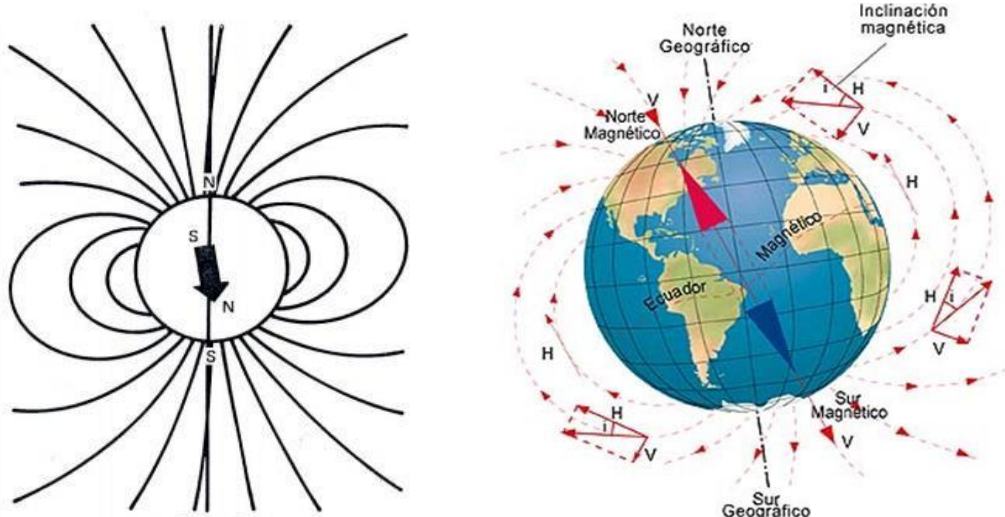


Fig. 1

El campo o las líneas de flujo, siguen la trayectoria que muestra la Figura 1. Nótese que la dirección del campo es vertical en los polos magnéticos, y horizontal en el ecuador magnético. El entendimiento de esta geometría es importante para la interpretación de las anomalías magnéticas. La intensidad del campo, es una función de la cantidad de líneas por unidad de área. La intensidad en la región polar es aproximadamente el doble que, en la ecuatorial, oscilando entre los 60.000 y 30.000 gammas o nanoteslas (nT). El Gauss es la unidad de la Inducción Magnética (B) y el Oersted de la Intensidad de Campo (H) en la nomenclatura física. Sin embargo, por convención en geofísica, el Gauss es la unidad de la intensidad magnética de campo en el sistema C.G.S. Numéricamente vale lo siguiente:

$$1\text{gamma} = 10^{-9} \text{ Tesla} = 1 \text{ nanoTesla} = 10^{-5} \text{ Gauss} = 10^{-5} \text{ Oersted} = 10^{-9} \text{ weber/m}^2$$

La intensidad del campo total de la Tierra no es perfectamente simétrica alrededor del polo geográfico. Además, el campo de la Tierra no puede ser representado exactamente como el de una simple barra magnética, puesto que en realidad hay numerosos polos de variación local o anomalías, debidas a desconocidas características del mecanismo generador del campo. También, el viento solar o flujo constante de partículas y corrientes eléctricas que llegan desde el sol, distorsionan las líneas de campo.

La anomalía más relevante, es la que se manifiesta en el núcleo de la Tierra y se registra en la superficie (Figura 2), pero también se encuentran anomalías en la corteza terrestre por las variaciones locales producidas fundamentalmente por los minerales magnéticos.

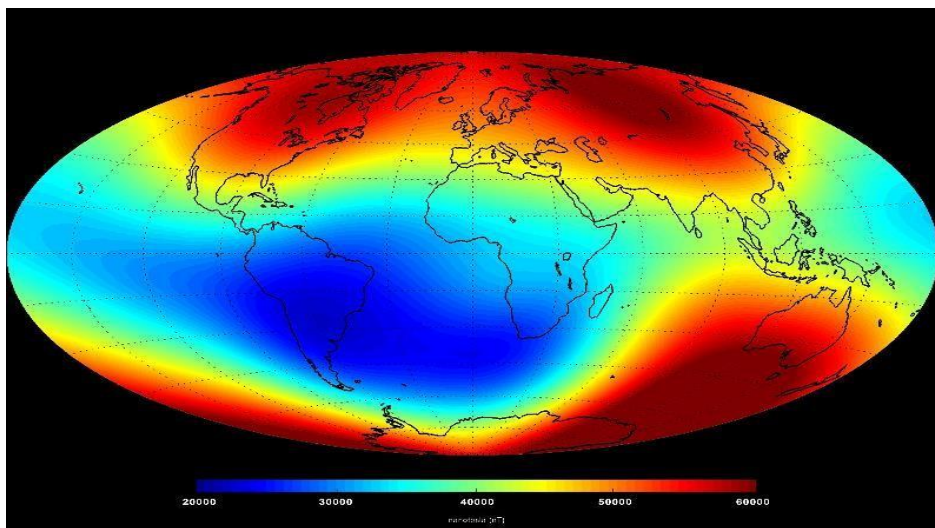


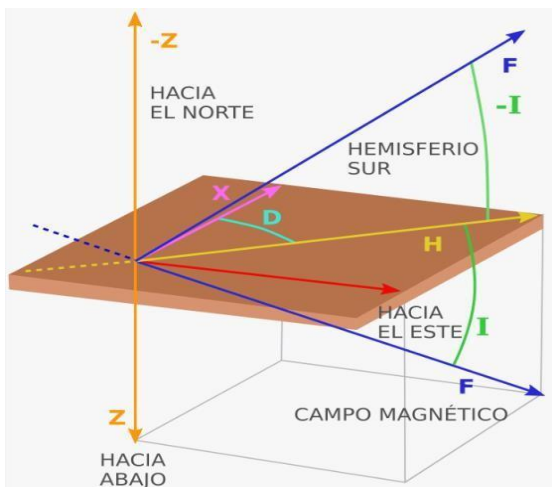
Fig. 2

Variaciones en el tiempo

Todas las variaciones descritas anteriormente se refieren a las variaciones espaciales del campo magnético terrestre, pero también existen las variaciones en el tiempo. Las más pequeñas, que van desde períodos de segundos, minutos y hasta horas, son el efecto directo o indirecto del viento solar y que distorsionan la magnetósfera o campo magnético externo de la Tierra. Las variaciones diarias o diurnas son notadas principalmente durante las horas de luz del día local. Estas variaciones no son predecibles, pueden significar cambios de hasta 100 gammas, y a menudo se las elimina de las mediciones. Superpuestas a estas variaciones diurnas, hay fenómenos de corto período llamado micropulsaciones que son más casuales en su comportamiento, generalmente más pequeñas en amplitud, y ocurren a cualquier hora, tanto del día como de la noche. Estas micropulsaciones ocurren en un rango de períodos desde los 0.01 segundos hasta varias decenas de minutos, con amplitudes de milésimos a decenas de gamma.

La variación de mayor importancia, fundamentalmente por ser una gran fuente de errores en las mediciones, son las tormentas magnéticas, que ocurren con una frecuencia de varias veces al mes, con un comienzo repentino y simultáneo en todo el mundo. Tales tormentas pueden exhibir variaciones de hasta varios cientos de gammas, y pueden durar desde uno hasta varios días. El campo interno o principal también cambia lentamente con los años, decenas y cientos de años, lo que ha venido a llamarse *variación secular*. La inclinación, intensidad y aún la ubicación de los polos magnéticos varían también, pero esto es solo de interés de los Observatorios.

Componentes Magnéticas



D, Declinación Magnética es la diferencia entre el norte geográfico y el norte magnético (el indicado por una brújula). En un punto dado de la Tierra, es el ángulo comprendido entre el norte magnético local y el norte geográfico.

F, es la intensidad magnética y es un vector. Su módulo está compuesto por la suma de las componentes cartesianas (X (N-S), Y (E-W), Z (Vertical)). X e Y están en el plano horizontal de N-S y E-O, respectivamente. Z en el plano vertical que será negativo hacia el Sur.

H, es la componente horizontal de F, en su proyección.

I es la Inclinación Magnética, es el ángulo medido sobre el plano vertical que contiene a F y H. Siendo negativo hacia el Sur.

Instrumentos

● Magnetómetro Protónico:

El magnetómetro de precesión protónica (ppm) es así llamado porque utiliza la precesión de los spines protónicos, o núcleo del átomo de hidrógeno en el caso de un hidrocarburo o agua, para medir la intensidad total del campo magnético terrestre. Los spines protónicos del agua, kerosén, alcohol, etc., se comportan como pequeños dipolos magnéticos. Estos dipolos son temporalmente alineados y polarizados mediante la aplicación de un campo magnético uniforme generado por una corriente en una bobina. Cuando se corta la corriente, el spin de los protones hace que estos precesen alrededor de la dirección del campo magnético de la Tierra. La precesión protónica genera entonces una pequeña señal en la misma bobina usada para la polarización, señal cuya frecuencia es proporcional a la intensidad del campo total e independiente de la dirección de la bobina. Figura 3 La constante de proporcionalidad es la conocida constante atómica o razón giromagnética del protón. La frecuencia de precesión, típicamente de 2.000 Hz para un campo terrestre de aproximadamente 50.000 gammas (nanoTeslas), se mide con un moderno contador digital, en valor absoluto de la intensidad de campo total y con una precisión de hasta 0,1 gamma (0,1 nT).



Limitaciones del magnetómetro protónico

El magnetómetro protónico no tiene partes móviles, tiene alta resolución en las mediciones y permite visualizar en forma digital las mediciones. Existen varias restricciones operacionales que pueden ser de interés bajo condiciones especiales de campo:

- 1) La señal de precesión protónica disminuye bruscamente en presencia de un fuerte gradiente de campo magnético (mayor de 600 gammas por metro).
- 2) La amplitud de la señal del sensor es del orden de los microvoltios y debe ser medida con una precisión de 0,04 Hz. Esta pequeña señal puede resultar difícil de medir en cercanía de corrientes eléctricas alternas. Por estas razones un magnetómetro protónico no puede operar próximo a edificios.

- Magnetómetro triaxial fluxgate:

Este tipo de magnetómetros permite el registro simultáneo de las tres componentes, declinación (D), las componentes, horizontal (H) y vertical (Z) del campo magnético de la Tierra. Las componentes del campo magnético se muestran cada 5 segundos y cada minuto con una resolución de 0,1 nT.

Un magnetómetro de saturación es un magnetómetro vector, lo que significa que mide no sólo la magnitud sino también la dirección del campo magnético de la Tierra. El dispositivo consta de dos núcleos ferromagnéticos

rodeados por dos bobinas de alambre. Cuando el magnetómetro está activo, la corriente alterna pasa a través de una de las bobinas, conocida como la "bobina", creando campos magnéticos inducidos de diferentes intensidades. Los cambios en los campos magnéticos generan una corriente eléctrica en la segunda bobina, conocida como la "bobina de detección", que a continuación se puede medir.

La exposición a variaciones en el campo magnético de la Tierra provoca variaciones en los campos magnéticos de los núcleos, lo que conduce a cambios en la corriente en la bobina de detección. Esencialmente, el sensor de un magnetómetro de saturación consiste en un núcleo de un material ferromagnético de alta permeabilidad magnética, rodeado por un arrollamiento receptor. El campo magnético terrestre a lo largo del eje del núcleo produce en éste un flujo magnético.

Si se hace variar la permeabilidad del núcleo, variará su flujo, como consecuencia se inducirá un voltaje en el arrollamiento receptor que proporciona unas medidas del campo externo. El funcionamiento del magnetómetro está, por tanto, basado en la variación con el tiempo de la permeabilidad del núcleo. (Figura



Fig. 4

4) • Teodolito

El teodolito convencional es el instrumento utilizado para determinar posiciones midiendo dos ángulos, uno horizontal (azimut) y otro vertical (altura). Éste está construido en material antimagnético y por tanto se podría utilizar para medir la declinación, acoplándole una aguja magnética. De esta manera se obtendría valores absolutos de la Declinación e Inclinación magnética en un determinado espacio y tiempo. (Figura 5)



Fig. 5

DESCRIPCIÓN SISTEMA INDIGO

Este sistema proporciona el hardware y el software para operar un Observatorio Magnético Digital básico. El hardware consiste en un magnetómetro triaxial fluxgate (Fig 4), un magnetómetro protónico, un Digitizador (Fig 6), un receptor GPS para proporcionar un tiempo exacto, un registrador de memoria USB y una fuente de alimentación DC alimentada por batería.

El software INDIGO WATCH (Fig 7) captura los datos del magnetómetro digitalizado, registra en el disco y realiza el análisis de datos básicos. Los datos se registran cada 5 segundos del fluxgate y ppm, los mismos pueden ser monitoreados y almacenados en archivos diarios individuales usando el software INDIGO WATCH montado en cualquier PC. Se generan valores medios de las componentes medidas cada 1 minuto los cuales se registran en el USB Logger (Fig. 6).

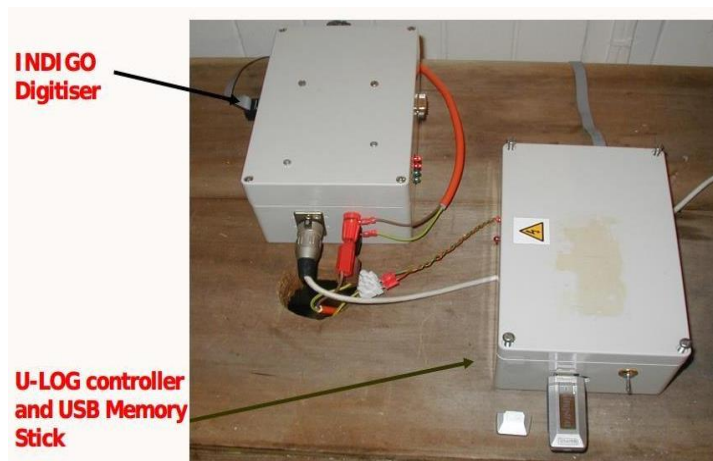


Fig. 6

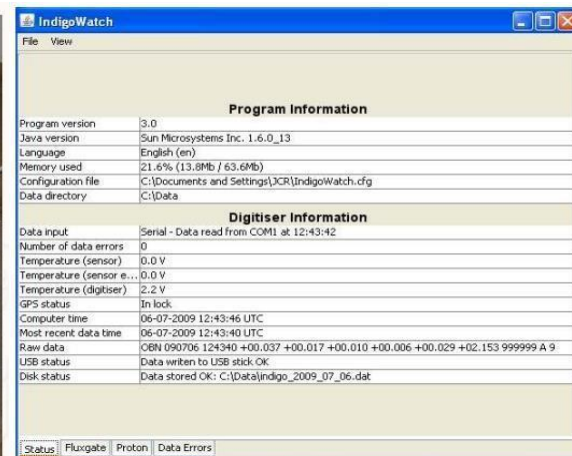


Fig. 7

OBSERVATORIO MAGNÉTICO OPERATIVO

El Observatorio opera con Geomagnetic Data Acquisition System (GDAS) (Fig 8), el mismo fue desarrollado por la British Geological Survey (BGS). El INDIGO Watch registra las variaciones de las componentes del campo magnético, pero no los valores absolutos. El operador supervisa estas

variaciones. Diariamente se realiza más de una observación

Estas son mediciones con el Teodolito Magnético que porta un sensor Fluxgate en la parte superior del mismo. Con él se obtienen datos de Declinación e Inclinación. Las observaciones absolutas conjuntamente con los datos obtenidos por el Sistema Indigo, se procesan en el software (GDAS), y producen un registro continuo de los **valores absolutos del campo magnético** (Fig. 8).

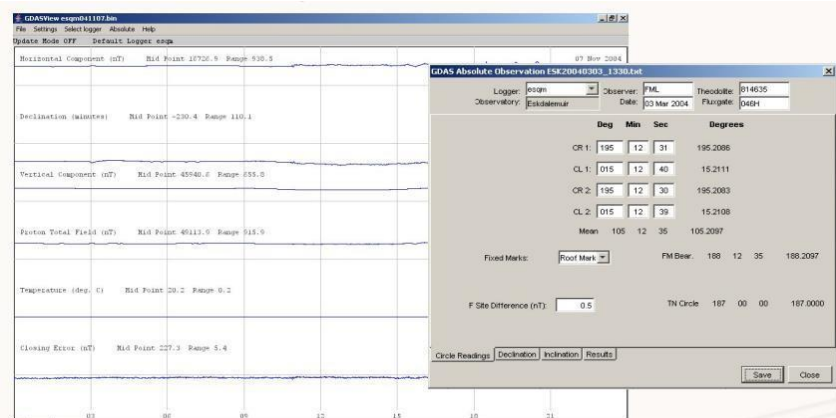


Fig. 8

INTERMAGNET

INTERMAGNET es una red mundial de Observatorios Magnéticos que operan casi en tiempo real. El objetivo de INTERMAGNET es establecer una red global de Observatorios Magnéticos digitales que cooperen, adoptando modernas especificaciones estándar para equipos de medición y registro, con el fin de facilitar el intercambio de datos y la elaboración de productos geomagnéticos en tiempo real.

Existen varios nodos de información geomagnética (GINs) que son utilizados por todos los observatorios del mundo de la red INTERMAGNET para compartir los datos generados por cada uno de ellos. Cada observatorio, como los del SMN, adopta ciertos estándares para las mediciones geomagnéticas y para el monitoreo del equipamiento y transfiere información rápidamente al GINs (Geomagnetic Information Nodes). Esto es posible gracias a los satélites y a las comunicaciones en red. Estos nodos de información geomagnética recogen datos desde su posición en el globo para su difusión a la comunidad en forma oportuna. GINs puede, cuando sea necesario, intercambiar información y también puede difundir productos tal como índices geomagnéticos y modelos de actividad.

En septiembre de 2012, el Observatorio Magnético Pilar fue aceptado como miembro de INTERMAGNET y las mediciones magnéticas generadas con el Sistema INDIGO en el Observatorio de Pilar, son reportadas diariamente a Edinburgo GIN.

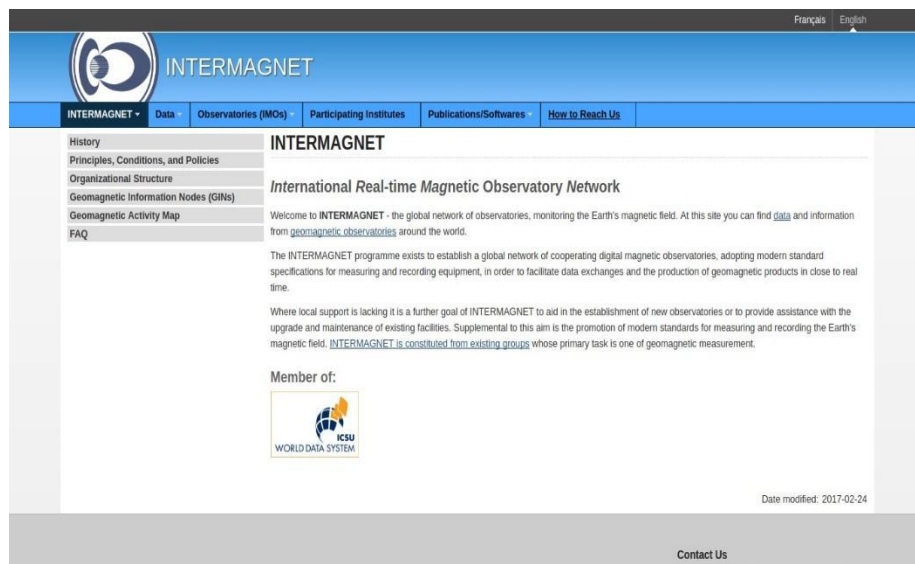


Fig. 9

La información se puede visualizar en

<http://www.intermagnet.org/data-donnee/dataplot-eng.php>